

สำนักงานกองทุนสนับสนุนการวิจัย THE THAILAND RESEARCH FUND

รายงานวิจัยฉบับสมบูรณ์

โครงการ การศึกษาโครงสร้างทางอิเล็กตรอนและโมเลกุล ของ คลัสเตอร์และอิออนคลัสเตอร์ขนาดเล็กของเหล็ก ด้วยวิธี แอบ อินิซิโอ

โดย รองศาสตราจารย์ ดร. วุฒิชัย พาราสุข

มกราคม 2541

รายงานวิจัยฉบับสมบูรณ์

โครงการ การศึกษาโครงสร้างทางอิเล็กตรอนและโมเลกุล ของ คลัสเตอร์และอิออนคลัสเตอร์ขนาดเล็กของเหล็ก ด้วยวิธี แอบ อินิซิโอ

คณะผู้วิจัย 1. รศ. ตร. วุฒิชัย พาราสุข สังกัด จุฬาลงกรณ์มหาวิทยาลัย

สนับสนุนโดยสำนักงานกองทุนสนับสนุนการวิจัย

ก็ตติกรรมประกาศ

ผู้รับทุนของอบอุณลำนักงานกองทุนสนับสนุนการวิจัย (ส.ก.ว.) ที่สนับสนุนเงินทุนใน การวิจัย ห้องปฏิบัติการคอมพิวเตอร์สมรรถนะสูง ศูนย์ตอมพิวเตอร์และอิเลิกทรอนิกส์แห่งชาติ สำหรับเวลาบนเตรื่อง SGI-Power Challenge ศูนย์ตอมพิวเตอร์ไทย-ออสเตรียเพื่อการวิจัยและ การศึกษาทางเคมีสำหรับเวลาบนเครื่องคอมพิวเตอร์และสิ่งอำนวยสะดวกต่างๆ และรอง ศาสตราจารย์ ตร. สุพจน์ หารหนองบัว สำหรับคำแนะนำ รหัสโครงการ: PDF/17/2540

ชื่อโครงการ: การศึกษาโครงสร้างทางอิเล็กตรอนและโมเลกุลของ คลัสเตอร์และอิออนคลัส

เตอร์ขนาดเล็กของเหล็กตัวยวิชี แอบ อินิชิโอ

ชื่อนักวิจัย: วุฒิชัย พาราสุข

ภาควิชาเคมี คณะวิทยาศาสตร์ จุฬาลงกรณ์มหาวิทยาลัย

E-mail Address: parasuk@atc.atccu.chula.ac.th

ระยะเวลาโครงการ: สิงหาคม 40 – มกราคม 41

คลัสเตอร์ของโลหะมีสมบัติเฉพาะซึ่งสามารถที่จะนำมาพัฒนาเป็นอุปกรณ์พิเศษและด้ว เร่งปฏิกิริยาได้ โดยเฉพาะอย่างยิ่งคลัสเตอร์ของเหล็กซึ่งโครงสร้างอิเล็กตรอนในชั้น d ที่บรรจุ ไม่เต็มจึงเป็นที่สนใจศึกษาทั้งทางทฤษฏีและทางการทดลอง มีผู้เสนอว่าโครงสร้างอิเล็กตรอน ของอะตอมเหล็กในคลัสเตอร์เป็นแบบ $3d^74s^1$ และพันธะระหว่างเหล็กเกิดจากการรวมกันของ ออร์บิทัล $4s^2$ ซึ่งสอดคล้องกับผลการคำนวณทางทฤษฏีที่ระบุว่าสถานะ $^7\Delta_0$ เป็นสถานะพื้นของ Fe_2 อย่างไรก็ดีฟังก์ชันคลื่นในการคำนวณดังกล่าวเป็นแบบดีเทอร์มิแนนด์เดียวซึ่งยังไม่มีความ แม่นยำเพียงพอสำหรับการนำมาใช้คำนวณในระบบที่มีโครงสร้างของวาเลนซ์อิเล็กตรอนที่ซับ ซ้อนเช่น Fe_2 วิธีที่เหมาะสมควรจะทำหนดให้ฟังก์ชันคลื่นเป็นแบบหลายดีเทอร์มิแนนด์เช่นวิธี Complete Active Space Self-Consistent Field (CASSCF) และวิธี Restricted Active Space SCF (RASSCF) จากนั้นก็นำออร์บิทัลที่ได้ไปคำนวณด้วยวิธี Multi-reference Configuration Interaction (MRCI) ต่อไป ในการศึกษานี้การคำนวณเหล่านั้นจะนำมาใช้ในการหาโครงสร้าง ทางอิเล็กตรอนและโครงสร้างทางโมเลกุลของ Fe2 ในสถานะ $^7\Delta_0$ และกระทำโดยใช้เบซิสเซต แบบ Effective Core Potential ของ Hay-Wadt ซึ่งมีจำนวนอิเล็กตรอนในคอร์เท่ากับ 10

ระยะระหว่างอะตอมเหล็กที่ได้จากการคำนวณเท่ากับ 4.056 โบหร์ในขณะที่จากการ ทดลองพันธะนี้มีความยาว 3.82 โบหร์ พันธะที่เกิดขึ้นนี้เกิดจากการรวมด้วของออร์บิทัล 4s และ 3d เท่าๆ กัน ไม่ใช่เกิดจากออร์บิทัล 4s เท่านั้นดังสรุปได้จากการคำนวณที่ผ่านๆ มา ผล การคำนวณนี้ทำให้ตระหนักถึงความสำคัญของการมี near-degeneracy correlation นอกจาก นี้ จากการที่ผลการคำนวณด้วยวิธี Multi Configuration SCF (MCSCF) และวิธี MRCI มีความ แตกต่างกันมากโดยเฉพาะอย่างยิ่งการให้จุดต่ำสุดของพลังงานศักย์ที่ต่างกัน ทำให้ทราบถึง ความสำคัญของการมี dynamic correlation สำหรับการคำนวณหาโครงสร้างทางอิเล็กตรอน และโครงสร้างทางโมเลกุลของระบบที่มีโครงสร้างซับซ้อนดังเช่น Fe₂

คำหลัก :

แอบ อินิซิโอ ไดเมอร์ของเหล็ก

Project Code: PDF/17/2540

Project Title: Ab initio Study of Electronic and Molecular Structures of Small Iron

Clusters and Iron Cluster Ions

Investigator: Parasuk V.

Department of Chemistry, Faculty of Science, Chulalongkorn University

E-mail Address: parasuk@atc.atccu.chula.ac.th

Project Period: August 97 - January 99

Metal clusters have unique properties which can be developed into special devices and also into catalysts. In particularly, iron clusters are of interest both theoretically and experimentally owing to their exotic nature such as an incomplete d occupations. It was suggested that the electronic structure for individual iron in the cluster is $3d^74s^1$ where the iron-iron bond can be described by the overlap of two singly occupied 4s orbitals. This conclusion is in agreement with results from theoretical calculations where the $^7\Delta_u$ state was suggested as the ground state for Fe2. However, all previous theoretical calculations were performed using a single-determinant method, which are not accurate enough for treating the system with such an exotic valence as Fe2 to provide orbitals for further multi-determinant calculations. Thus, multi-determinant methods such as Complete Active Space Self-Consistent Field (CASSCF), and Restricted Active Space SCF (RASSCF) following by Muli-reference Configuration Interaction (MRCI) were carried out using Hay-Wadt effective core potential with n=10 for basis to identify the electronic and molecular structures of $^7\Delta_u$ state of Fe2.

Our calculations obtained the equilibrium bond distance of 4.056 Bohr, compared to the experimental value of 3.82 Bohr. In contrast to all previous works, the characteristic of the bond between iron in the dimer is described by both 3d and 4s orbitals instead of only 4s orbitals. Our result implies the important of the inclusion of the near-degeneracy correlation. The Multi Configuration SCF (MCSCF) and MRCI methods gave the different minimum on the potential energy. Therefore, the inclusion of the dynamic correlation configuration is equally important to the near-degeneracy one for determining the electronic and molecular structures systems with exotic valence such as Fe₂.

Keywords: ab initio, iron dimer,

Executive Summary

งานวิจัยนี้ทำการศึกษาถึงโครงสร้างทางอิเล็กตรอนและโมเลกุลของเหล็กคลัสเตอร์ ขนาดเล็กได้แก่ Fe₂ โดยใช้วิธีที่มีทั้ง near-degeneracy correlation ที่จำเป็นมากสำหรับระบบ ของโลหะทรานสิชันที่มีอิเล็กตรอนบรรจุไม่เต็ม d ออร์บิทัล และ dynamic correlation ที่ใช้ อธิบายการกระจายตัวของอิเล็กตรอน วิธีที่เลือกใช้ได้วิธี CASSCF และ RASSCF สำหรับสร้าง ออร์บิทัลเชิงโมเลกุลที่จะนำมาใช้ต่อไปในการคำนวณด้วยวิธี MRCI เบซิสเซดที่เลือกใช้เป็นเบซิสเซตแบบ ECP ของ Hay-Wadt ซึ่งเป็นเบซิสเซตขนาดเล็ก เนื่องจากในการคำนวณด้องลอง active space สำหรับ CAS/RASSCF และ MRCI หลายๆ แบบ รวมทั้ง reference space ที่ เหมาะสมจึงเลือกเบซิสเซตขนาดเล็กก่อน เมื่อทราบวิธีที่เหมาะสมแล้วจึงจะศึกษาโดยใช้เบซิส เซตขนาดใหญ่เช่น Atomic Natural Orbital (ANO) ต่อไป

จากการศึกษาหา active space ที่เหมาะสมพบว่า active space ที่เหมาะสมควร
ประกอบด้วยออร์บิทัลที่มาจาก 3d และ 4s ของเหล็กทั้งหมด ออร์บิทัล do และ 4so อาจจะละ
ไว้ได้เพราะมีผลต่อผลการคำนวณน้อยมากโดยการคำนวณที่ให้ความยาวพันธะดีที่สุด 4.056
Bohr คือ RAS2/CI2+Q ในขณะที่ความยาวพันธะที่ได้จากการทดลองคือ 3.82 Bohr เชื่อว่าถ้า
ใช้เบซิสที่มีขนาดใหญ่ขึ้นผลที่ได้จะใกล้เคียงกับการทดลองมากขึ้น จากการพิจารณา
occupation และ bond order พบว่าพันธะระหว่างเหล็กนี้มีลักษณะผสมผสานระหว่าง 3d และ
4s ออร์บิทัลซึ่งแตกต่างจากผลการศึกษาทางการคำนวณก่อน ๆ ที่ใช้พันธะนี้เป็นพันธะแบบ σ
จาก 4s ความแตกต่างนี้คาคว่าเป็นผลจากการที่คำนึงถึง near-degeneracy correlation ทำให้
การอธิบายพันธะแบบ dπ และแบบ dδ ดีขึ้น อย่างไรก็ตามระยะระหว่างพันธะที่ได้จากการ
คำนวณวิธี MCSCF และ MRCI แตกต่างกันมากซึ่งบังถึงความแตกต่างกันของพลังงานศักย์ที่
แตกต่างกันโดยสิ้นเชิง โดยที่ฟังก์ชันคลื่นที่จุดต่ำสุดของพลังงานศักย์ที่ได้จากวิธีทั้งสองนั้นไม่
เหมือนกันเลย ดังนั้นเพียงเฉพาะ near-degeneracy correlation ไม่เพียงพอที่จะทำนายโครง
สร้างทางอิเล็กตรอนและโครงสร้างทางโมเลกุลของ Fe₂ ได้ถูกต้อง dynamic correlation ก็มี
ความสำคัญเช่นกัน

ในการศึกษาต่อไปจะเลือก active space และ reference space แบบ RAS2/CI2 ทำ การคำนวณด้วยวิธี RASSCF และ MRCI บนเบซิสเซตแบบ ANO เพื่อยืนยันผลที่ได้จากการ ศึกษานี้ รวมทั้งนำไปศึกษาระบบอิออนของคลัสเตอร์นี้ด้วย

Introduction

Metal clusters have unique properties which can be developed into special devices and also into catalysts[1]. In particularly, iron clusters are of interest both theoretically and experimentally owing to their exotic nature, an incomplete d valence. It was suggested that the electronic structure for individual iron in the cluster is 3d74s1 and only 4s orbitals contribute to the bonding. The iron clusters can be synthesized in laboratory and their bond distances were measured. The smallest of the iron clusters is the iron dimer. Montano and Shenoy[2] using Extended X-ray Absorption Fine Structure (EXAFS) in the matrix of argon found the bond distance of the iron dimer to be 3.53 Bohr whereas the bond distance of the bulk iron is 4.69 Bohr.[3] Using the same technique but in neon matrix, Purdum et.al.[4] discovered that the iron dimer bond distance is 3.82 Bohr. Several theoretical calculations have been performed on this system to determine ground state electronic and molecular structures of Fe2. Most theoretcal calculations[5-7] suggested the ⁷Δ_u state as the ground state. This finding is confirmed by the isomer shift study using Mössbauer Spectroscopy.[8-9] Shim and Gingerich[4] performed Hartree-Fock (HF) and Configuration Interaction Single-Double (CISD) reported the equilibrium bond distance of 4.54 Bohr while Harris and Jones[6] using Density Functional Theory (DFT) and Local Spin Denstiy (LSD) approximation found this distance to be 3.97 Bohr. The best calculations so far were carried out by Tomonari and Tatewaki[7] using HF and Iterative CI gave the bond distance of 3.82 Bohr which agrees within the experimental error. All above calculations suggested that the iron-iron bond is formed predominantly by electrons in 4s orbital. However, those calculations were performed using a single-determinant method, which are not accurate enough for treating the system with such an exotic valence as Fe₂ to provide orbitals for further multi-determinant calculation such as CI (except for DFT which is a truly single-determinant method). Thus, it would be very suggestive to perform calculations using Multi-Configuration Self-Consistent Field (MCSCF) method following by Multi-Reference Configuration Interaction (MRCI) to investigate electronic and molecular structures of Fe2.

Computational Details

Energies of iron dimer at various interatomic distances were calculated using Complete Active Self-Consistent Field (CASSCF), Restricted Active Space SCF (RASSCF), and MRCI methods with Hay-Wadt Effective Core Potential n=10 (HW) basis[10]. The symmetry of Fe2 used in all calculations is D_{2h} , which is a subgroup of its full point group $D_{\infty h}$. Several CAS/RAS calculations were performed. Their definitions and corresponding active spaces were given as following.

AUX Space: {(4sσ_u)}⁰

Successive MRCI calculations were carried out using orbitals and reference configurations from CAS2 and RAS2. The notation for these CI calculations were given below.

Methods	Orbitals	No. reference CFS Tot	al no. of CI CFS
CAS2/CI	CAS2	32/32* (all CAS)	498,371
RAS2/CI1	RAS2	23/1152* (CI coeff. >0.05)	423,949
RAS2/CI2	RAS2	13/1152* (CI coeff. >0.1)	262,755

CSF= configuration state function

The RAS1 was carried out to evaluate the contribution of 3p electrons to the electron correlation. Preliminary calculations showed that all configurations generated from the excitation of 3p electrons is insignificant as demonstrated by their low CI coefficients (< 0.01), thus no CI calculation was performed for RAS1. The MRCI calculations using CAS1 orbitals and CFSs are still in progress and their report will be given in the later communication. All calculations were performed using the COLUMBUS program package.[11]

Results and Discussions

The CASSCF, RASSCF, and MRCI energies at various bond distances were given in Table 1 and Table 2. Their corresponding potential energy plots were illustrated in Fig. 1 and equilibrium bond distances obtained from various level of theory were listed in Table 3.

Table 1. CAS/RAS energies in Hartree for $^7\Delta_u$ of Fe₂ at various bond distances in Bohr computed using HW basis.

R	Energy (Hartree)								
(Bohr)	CAS1	CAS2	RAS1	RAS2					
3.90		-245.02291	-245.05077	-245.05545					
4.00	-245.06165	-245.03278	-245.05748	-245.06165					
4.20	-245.07090	-245.04746	-245.06730	-245.07090					
4.40		-245.05687	-245.07345	-245.07699					
4.50	-245.07913			40					
4.60	The second	-245.06241	-245.07688	-245.08077					
4.70	-245.08199								
4.80	A SECTION AND ADDRESS OF THE PARTY OF THE PA	-245.06774	-245.07825	-245.08284					
5.00	-245.08364	-245.06767	-245.07902	-245.08299					
5.20	-245.08356		-245.07914	-245.08426					
5.40		SUBSTITUTE PORTER	-245.07794	-245.08442					
5.60	stactour total	B LICENSON CO.		-245.08392					

^{*}total numbers of CSFs

Table 2. MRCI energies in Hartree for $^7\Delta_u$ state of Fe₂ at various bond distances in Bohr computed using HW basis.

R			Energ	y (Hartree)		
(Bohr)	CAS2/CI	CAS2/CI+Q	RAS2/CII	RAS2/CI1+Q	RAS2/CI2	RAS2/CI2+Q
3.90	-245.25282	-245.29346	-245.25647	-245.29684	-245.25270	
4.00	-245.25582	-245.29476	-245.25933	-245.29824	-245.25586	
4.20	-245.25855	-245.29384	-245.26011	-245.29742	-245.25613	
4.40	-245.25857	-245.29028	-245.25801	-245.29588	-245.25337	

Q=Davidson's Correction

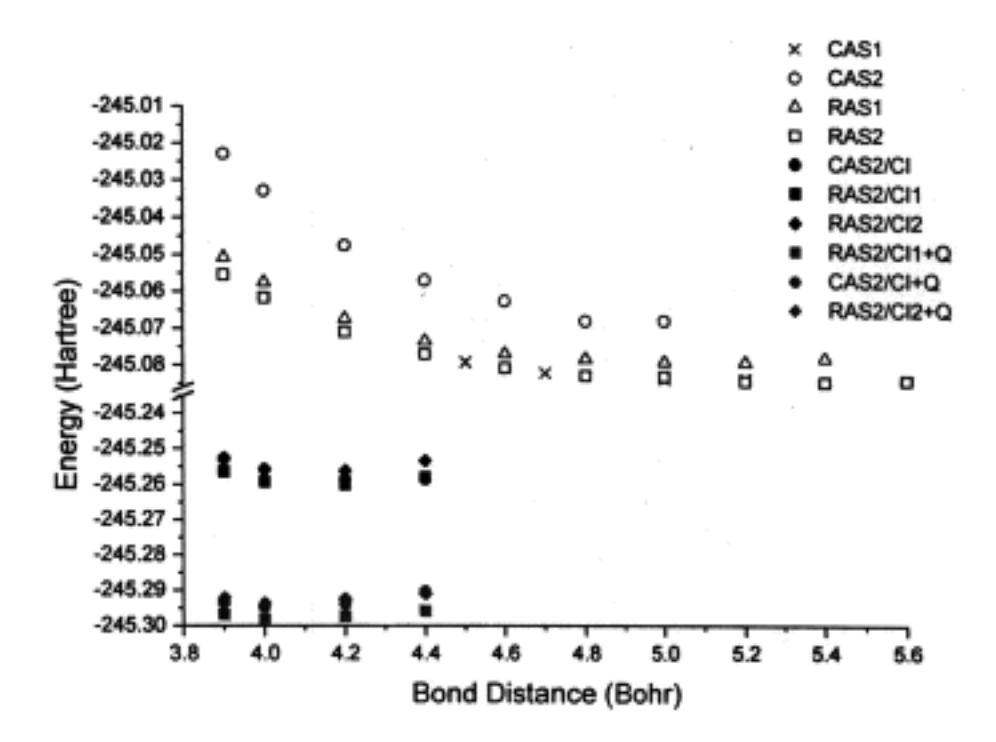


Figure 1 Potential energy plot of $^7\Delta_u$ state of Fe₂ computed at various level of theory and HW basis

Table 3. The equilibrium bond distance of $^7\Delta_u$ state of Fe₂ computed at various level of theory and HW basis

Methods	r (Bohr)
CAS1	5.085
CAS2	4.897
RAS1	5.118
RAS2	5.348
CAS2/CI	4.302
CAS2/CI+Q	4.061
RAS2/CI1	4.154
RAS2/CI1+Q	4.066
RAS2/CI2	4.117
RAS2/CI2+Q	4.056
Experiment	3.53, 3.82

It could be seen that our best bond distance, RAS2/CI2+Q, is slightly deviated (0.24 Bohr) from experimental results. However, with better basis set i.e. Atomic Natural Orbital (ANO) one would expect the computed equilibrium distance to become shorter and fall within the experimental error. The elongation of the calculated bond distance is probably due to the extra repulsion of nuclear cores produced by the core potential. All MCSCF calculations yielded a much longer bond distance than their MRCI counterparts. The CI bond distance could be shortening by the inclusion of the Davidson's correction. The size-consistency error plays role in determining the bond distance of the iron dimer. This size-consistency error seems to be less severe in the case of RAS2/CI as compared to CAS2/CI probably owing to the increment of the active space since the different between the CI bond and CI+Q bond becomes smaller. However, the reduction of numbers of CI reference (RAS2/CI1 and RAS2/CI2) has almost no effect on the bond distance. The slightly shorter bond of RAS2/CI2 than that of RAS2/CI1 is probably caused by the removal of the CFS with the occupied $4s\sigma_u$. Table 4 showed the natural occupations of the $^7\Delta_u$ state of Fe₂ in the vicinity of equilibrium bond distance. All CI calculations suggested doubly occupation on does singly occupation on dσ_u and 4sσ_g, and zero occupation on 4sσ_u. Notice that obtained occupations are markedly different from those of previous calculations, except CAS1 which is similar to that of Tomonari et.al. Among MCSCF calculations, the occupations are similar but significantly different from those of MRCIs. The reverse is also true. However, the MCSCF occupations at the CI equilibrium distance (not given in Table 4) are resemble to their corresponding CI calculations. Likewise, main CFSs of both CI and MCSCF calculations as listed in Table 5 demonstrated the same trend as their natural occupations. The CFS with largest CI coefficient is CFS#1 for CAS2 (0.56), CAS2/CI1 (0.78), RAS2/CI1 (0.78), and, RAS2/CI2 (0.77) and CSF#18 (1.00) for RAS1 and CSF#19 for RAS2 (0.89). However, at the CI minimum CAS2, RAS1, and, RAS2 all have the same leading CFS with almost the same weight as those of CI calculations. Electronic configurations of each CFS in Table 5 were given in Table 6. It can be concluded that MCSCF wavefunctions at their own minima on the potential differ from the wavefunction at CI minima. The CAS1 calculations used SCF orbitals with configuration suggested by Tomonari et.al. as its starting guess and

Table 4. Natural occupations of $^7\Delta_u$ state of Fe₂ in the vicinity of equilibrium bond distance computed at various level of theory and HW basis

Methods			Occup	pations				
	$d\sigma_g$	$d \sigma_u$	$d \pi_g$	$d \pi_u$	d δg	d δ _u	4sσ _e	4sσ _u
CAS1	1.62	1.51	2.80	3.03	2.58	2.46	1.80	0.20
CAS2	2.00	1.06	2.78	3.06	3.16	2.87	1.05	0.00
RAS1	2.00	1.00	2.00	2.00	4.00	4.00	1.00	0.00
RAS2	1.78	1.00	2.00	2.00	4.00	3.99	1.00	0.23
CAS2/CI	1.93	1.01	2.30	3.60	3.60	2.33	1.00	0.00
RAS2/CI1	1.92	1.01	2.29	3.60	3.62	2.32	1.00	0.05
RAS2/CI2	1.93	1.00	2.31	3.58	3.59	2.34	1.00	0.04
Shim et.al.	1.60	2.50	2.90	3.10	2.50	2.50	2.00	0.00
Harris et.al.	2.00	1.00	2.00	4.00	3.00	2.00	2.00	0.00
Tomonari et.al.	1.55	1.41	2.83	3.06	2.62	2.53	1.93	0.06

yielded the similar occupation profile that of Tomonari et.al. while others using core Hamiltonian option in the COLUMBUS program as starting guess. Thus, the starting guess or supplied orbitals have an effect on the outcome of the calculations. This could be the reason for the discrepancy between our calculations and previous ones where their calculations were based on single determinant.

Table 5. CI coefficients of main configurations obtained from calculations carried out at various level of theory and HW basis.

CFS		Perce	ntage We	ight of Mair	Configura	tions
	CAS2	RAS1	RAS2	CAS2/CI	RAS2/CI1	RAS2/CI2
1	-0.56	-	-	0.78	0.78	-0.77
2	0.25	-	-	0.19	0.19	-0.22
3	-	-	1	-	-0.09	0.08
4	-0.25	-	-	0.19	-0.19	0.22
5	-	-		-	0.09	-0.08
6	-	-	-		-0.10	0.09
7	0.23	-	-	-	0.16	-0.18
8	-	-	-	-	0.10	-0.09
9	-0.23	-	-		-0.16	0.18
10	-0.41	-	-	-	-0.18	0.18
11	-	-	-	, -	-0.10	-
12	0.09	-	-	0.16	-	0.05
13	-	-	-		-0.08	-
14	-	-	-	-	-0.08	0.09
15	-	-	-	-	0.08	
16	0.09	-	-		0.16	
17	-	-			0.19	
18		1.00	-0.89	-		-
19	-		0.21		• •	_

Table 6. Electronic configurations of the main CFSs listed in Table 5.

CSF	$d\sigma_g$	$d\sigma_u$	$d\pi_{\rm g}$	$d\pi_g$	$d\pi_u$	$d\pi_u$	$d\delta_g$	dδ _g '	$d\delta_u$	dδ _u '	$4s\sigma_g$	4sσ
1	2	1	1	1	2	2	2	2	1	1	1	0
2	2	1	2	1	2	1	2	1	1	2	1	o
3	2	1	2	1	1	2	2	1	1	2	1	0
4	2	1	1	2	1	2	2	1	1	2	1	0
5	2	1	1	2	2	1	2	1	1	2	1	Õ
6	2	1	2	1	1	2	1	2	2	1	ī	0
7	2	1	2	1	2	- 1	1	2	2	1	1	ō
8	2	1	1	2	2	1	1	2	2	1	i	ő
9	2	1	1	2	1	2	1	2	2	ī	ī	Õ
10	2	2	1	2	1	2	1	2	1	2	1	ő
11	2	1	1	1	2	2	1	1	2	2	ī	Õ
12	2	2	2	1	2	1	1	2	ī	ī	i	ő
13	0	1	1	1	2	2	2	2	1	1	i	2
14	2	2	1	1	1	1	2	2	2	ī	i	õ
15	2	1	2	2	1	1	2	2	ī	1	i	ŏ
16	2	1	2	2	1	1	1	1	2	2	i	ŏ
17	2	2	2	2	1	1	1	1	ī	2	î	ŏ
18	2	1	1	1	1	1	2	2	2	2	î	ň
19	0	1	1	1	ī	1	2	2	2	2	i	2
	-		-	_	-	-	_	_	_	_	•	-

From Table 4, bond orders (3d's, 4s's and, total) were computed and given in Table 7.

Table 7 The 3d, 4s and total bond orders of $^7\Delta_u$ state of Fe₂ computed at different level of theory and HW basis.

Methods	dg	du	Sg	Su	bo1	bo2	total
CAS1	7.00	7.00	1.80	0.20	0.000	0.800	0.800
CAS2	7.94	6.99	1.05	0.00	0.475	0.525	1.000
RAS1	8.00	7.00	1.00	0.00	0.500	0.500	1.000
RAS2	7.78	6.99	1.00	0.23	0.395	0.385	0.780
CAS2/CI	7.83	6.94	1.00	0.00	0.445	0.500	0.945
RAS2/CI1	7.83	6.93	1.00	0.05	0.450	0.475	0.925
RAS2/CI2	7.83	6.92	1.00	0.04	0.455	0.480	0.935
Shim et.al.	7.0	8.1	2.0	0.0	-0.55	1.00	0.45
Harris et.al.	7	7	2	0	0.0	1.0	1.0
Tomonari et.al.	7.00	7.00	1.93	0.06	0.00	0.935	0.935

dg=bonding occupation of 3d orbital

du=antibonding occupation of 4s orbital

s_g=bonding occupation of 4s orbital

su=antibonding occupation of 4s orbital

bo1=3d bond order: d_g-d_u/2 bo2=4s bond order: s_g-s_u/2

total=bo1+bo2

For all calculations, the total bond order of 1 were reported for the Fe-Fe bond. The RAS2 gave the smallest total bond order (0.78) and the longest equilibrium bond distance (5.348 Bohr). This kind of reasoning could be used to describe the longer Fe-Fe bond obtained by Shim et. al. Unlike previous work, our calculations revealed that both 3d and 4s orbitals are equally important for describing the characteristic of Fe-Fe bond instead of only the 4s one. It seems that the d bonding could be best described when the near-degeneracy correlation is included such as in CASSCF and RASSCF calculations. This reminds us the important of the near-degeneracy correlation for the calculation of Fe₂. However, without the dynamic correlation (which included in calculations such as CI) correct equilibrium bond distance could not be obtained.

Conclusions

Our best prediction of the equilibrium bond distance is 4.056 Bohr, a 0.24 Bohr different from the experimental value. The study revealed the multi-determinant nature of the wavefunction of $^7\Delta_u$ state of Fe₂ where the configuration with largest CI coefficient contributes only 64% of the total wavefunction. This multi-determinant nature which requires the treatment for near-degeneracy correlation effects the electronic structure of the molecule. Thus, our calculations suggested that the bond between iron is contributed equally by the characteristic of both 3d and 4s orbitals. This conclusion could not be obtained if the near-degeneracy correlation was neglected as in those previous studies. The MCSCF and MRCI gave different minimum on the potential energy. The true minimum could not be reached if no dynamic correlation is treated. The reasonable active space for the MCSCF and MRCI calculations should include valence electrons in 3d and 4s of the metal. The exclusion of dog and 4sou has minimal effect on the result of the calculation.

References

- E.A. Rohlfing, D.M. Cox, and A. Kaldor, J. Chem. Phys. 81, 3846 (1984).
- [2] P.A. Montano and G.K. Shenoy, Solid State Commun. 35, 53 (1980).
- [3] X.G. Gong and Q.Q. Zheng, J. Phys.: Condens. Condens. Matter 7, 2421 (1995).
- [4] H. Purdum, P.A. Montano, G.K. Shenoy, and T. Morrison, Phys. Rev. B 25, 4412 (1982).
- [5] I.Shim and K.A. Gingerich, J. Chem. Phys. 77, 2490 (1982).
- [6] J. Harris and R.O. Jones, J. Chem. Phys. 70, 830 (1979).
- [7] M. Tomonari and H. Tatewaki, J. Chem. Phys. 88, 1828 (1988).
- [8] T.K. McNab, H. Micklitz, and P.H. Barrett, Phys. Rev. B 4, 3787 (1971).
- [9] W. Dyson and P.A. Montano, Solid State Commun. 33, 191 (1980).
- [10] P.J. Hay and W.R. Wadt, J. Chem. Phys. 82, 1985, 299.
- [11] COLUMBUS, An ab initio Electronic Structure Program, Release 5.3 (1997), written by:H.Lischka, R.Shepard, I.Shavitt, F.B. Brown, R.M. Pitzer, R. Ahlrichs, H.-J. Böhm, A.H.H. Chang, D.C. Comeau, R. Gdanitz, H. Dachsel, M. Dallos, C. Erhard, M. Ernzerhof, G. Gawboy, P.Höchtl, S. Irle, G. Kedziora, T. Kovar, Th. Müller, V. Parasuk, M. Pepper, P. Scharf, H. Schiffer, M. Schindler, M. Schüler, E. Stahlberg, P.G. Szalay and J.-G. Zhao and R. Shepard, I. Shavitt, R. M. Pitzer, D. C. Comeau, M. Pepper, H. Lischka, P. G. Szalay, R. Ahlrichs, F. B. Brown, J. G. Zhao, Int. J. Quantum Chem. S22, 149 (1988)

สัญญาเลชที่ PDF/17/2540 รายงานการเงินตลอดโครงการ

ชื่อโครงการ

การศึกษาโครงสร้างทางอิเล็กตรอนและโมเลกุลของคลัสเตอร์และอิ

ออนคลัสเตอร์

ขนาดเล็กของเหล็กด้วยวิธี แอบ อินิซิโอ

ชื่อหัวหน้าโครงการ

ดร. วุฒิชัย พาราสุข

ระยะเวลาดำเนินโครงการ

สิงหาคม 40 - มกราคม 42

รายจ่าย

หม	าวค	งวดที่ 1	งวดที่ 2	งวดที่ 3	รวมสะสม
1.	ค่าจ้าง	-	18,000.00	42,000.00	60,000.00
2.	ค่าตอบแทนหัวหน้าโค	รงการ 60,000.00	60,000.00	60,000.00	180,000.00
3.	ค่าใช้สอย	1,731.20	1,157.50		2,888.70
4.	คำวัสดุ	20,104.30	39,557.05	-	59,661.35
	รวม	81,835.50	118,714.55	102,000.00	302,550.05

<u>จำนวนเงินที่ได้รับและจำนวนเงินคงเหลือ</u>

จำนวนเงินที่ได้รับ					
งวดที่ 1		200,000.00	บาท	เมื่อ	23/09/40
งวดที่ 2		60,000.00	บาท	เมื่อ	21/09/41
งวดที่ 3			บาท	เมื่อ	
ดอกเบี้ยครั้งที่ 1		1,426.25	บาท	เมื่อ	20/12/40
ดอกเบี้ยครั้งที่ 2		1,347.64	บาท	เมื่อ	20/06/41
ดอกเบี้ยครั้งที่ 3		1,240.75	บาท	เมื่อ	19/12/41
ดอกเบี้ยครั้งที่ 4		1,997.99	บาท	เมื่อ	30/06/42
ดอกเบี้ยครั้งที่ 5		1,524.66	บาท	เมื่อ	25/12/42
	รวม	267,537.29	บาท		(1)
ค่าใช้จ่าย					
งวดที่ 1 เป็นเงิน		81,835.50	บาท		
งวดที่ 2 เป็นเงิน		118,714.55	บาท		
งวดที่ 3 เป็นเงิน		102,000.00	บาท		
	รวม	302,550.05	บาท		(2)
จำนวนเงินคงเหลื	อ (1) – (2)	(-35,012.76)	บาท		

THIS BOOK SHOULD BE PRODUCED FOR DEPOSIT OR WITHDRAWAL PLEASE NOTIFY US OF ANY CHANGE OF ADDRESS OR LOSS OF PASSBOOK

กำเดือน

ต้องนาสมุลคู่ฝากเงินนี้มาทุกครั้งที่มีการฝากหรือถอน

ไปรดแจ้งธนาคาร เมื่อสมุดคู่ฝากสูญหายหรือเปลี่ยนที่อยู่ใหม่:

Account Name --

פוררוא שללך ב-2014

ลายมอชอผู้มอานาจลงนาม Authorized Signature

97U. 100240.350,000

MH 85-1012

